

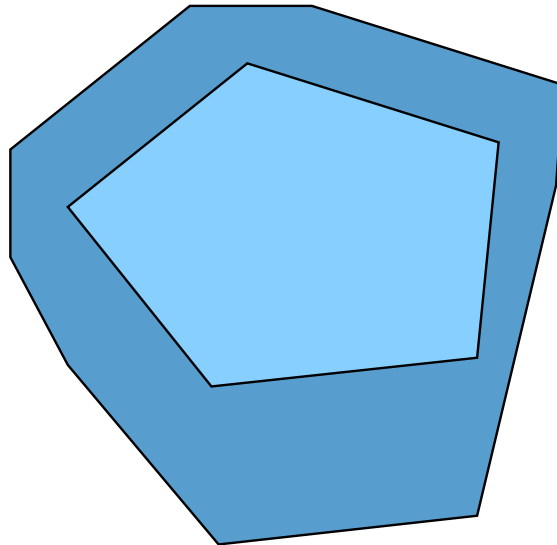
# 5 Minkowski Summen

**Ziel:** Berechnung des freien Konfigurationsraumes für polygonale Roboter

## Definition

Konfigurationshindernis oder  $\mathcal{C}$ -Hindernis  $\mathcal{C}(\mathcal{P})$  zu Hindernis  $\mathcal{P}$ :

$$\mathcal{C}(\mathcal{P}) = \{(x, y) \mid \mathcal{R}(x, y) \cap \mathcal{P} \neq \emptyset\}$$



# Minkowski Summe

## Definition

Seien  $\mathcal{S}_1, \mathcal{S}_2 \subseteq \mathbb{R}^2$ . Die **Minkowski-Summe** von  $\mathcal{S}_1$  und  $\mathcal{S}_2$  ist definiert als

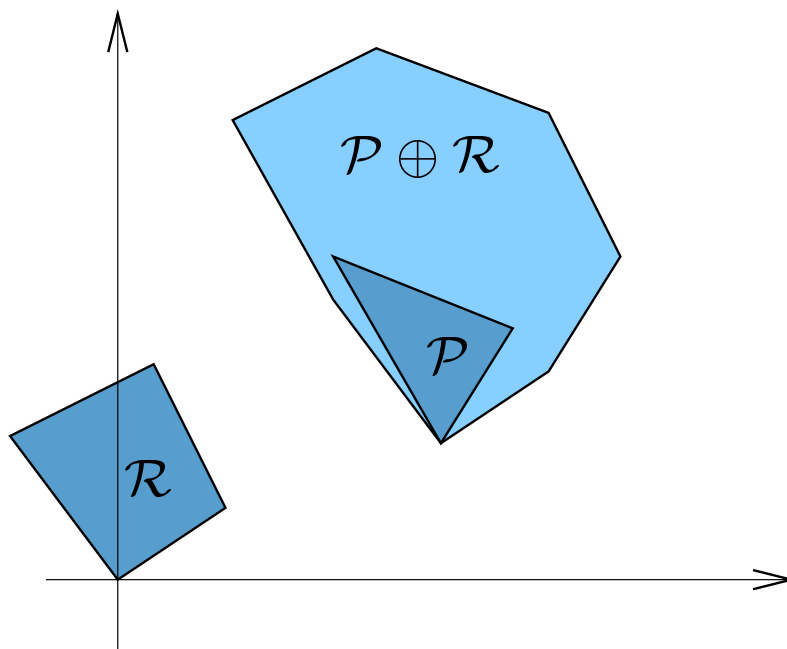
$$\mathcal{S}_1 \oplus \mathcal{S}_2 = \{p + q \mid p \in \mathcal{S}_1, q \in \mathcal{S}_2\}$$

wobei mit  $p = (p_1, p_2)$  und  $q = (q_1, q_2)$

$$p + q = (p_1 + q_1, p_2 + q_2)$$

Ferner sei

$$-p = (-p_1, -p_2) \quad \text{und} \quad -S = \{-p \mid p \in S\}$$



# $\mathcal{C}$ -Hindernisse

## Satz

$$\mathcal{C}(\mathcal{P}) = \mathcal{P} \oplus (-\mathcal{R}(0, 0))$$

## Beweis:

“ $\subseteq$ ”: Sei  $q \in \mathcal{C}(\mathcal{P})$  und  $p \in \mathcal{P} \cap \mathcal{R}(q)$   
 $\Rightarrow p - q \in \mathcal{R}(0, 0)$   
 $\Rightarrow -p + q \in \{(0, 0)\} \oplus (-\mathcal{R}(0, 0))$   
 $\Rightarrow q \in \{p\} \oplus (-\mathcal{R}(0, 0)) \subseteq \mathcal{P} \oplus (-\mathcal{R}(0, 0))$

“ $\supseteq$ ”: Sei  $q \in \mathcal{P} \oplus (-\mathcal{R}(0, 0))$   
 $\Rightarrow q = p - r$ , mit  $p \in \mathcal{P}$ ,  $r \in \mathcal{R}(0, 0)$   
 $\Rightarrow p = q + r$   
 $\Rightarrow p \in \mathcal{P} \cap \mathcal{R}(q)$

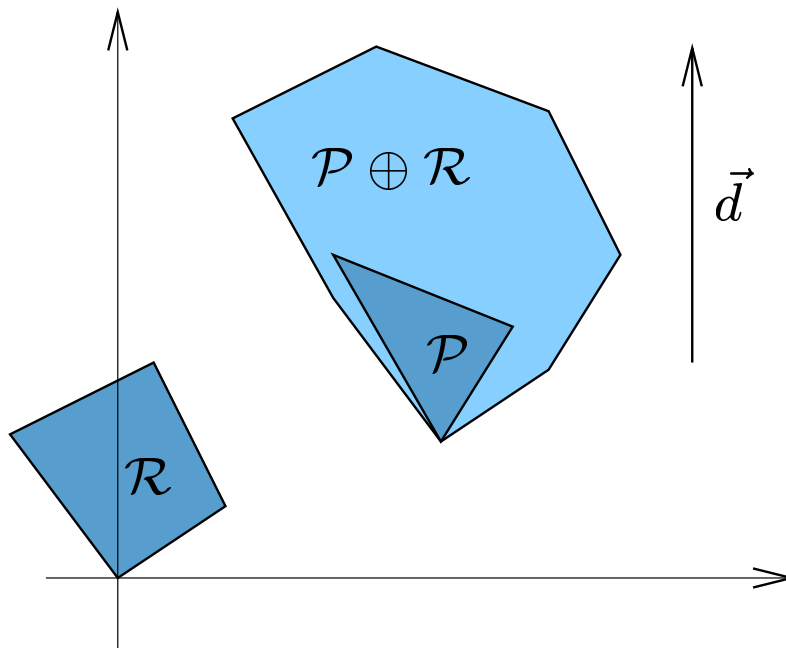
# Extreme Punkte

## Beobachtung

Sei

$$Q = P \oplus R,$$

dann ist ein in Richtung  $\vec{d}$  extremer Punkt von  $Q$  die **Summe** von in Richtung  $\vec{d}$  extremen Punkten von  $P$  und  $R$ .



# Komplexität von $\mathcal{P} \oplus \mathcal{R}$

## Satz

Seien  $\mathcal{P}$  und  $\mathcal{R}$  **konvex** mit  $n$  bzw. mit  $m$  Kanten, dann ist

$$\mathcal{P} \oplus \mathcal{R}$$

ein **konvexes Polygon** mit höchstens  $n + m$  Kanten.

**Beweis:** Konvexität von  $\mathcal{P} \oplus \mathcal{R}$  folgt aus der Definition

Sei  $e$  eine Kante von  $\mathcal{P} \oplus \mathcal{R}$

$\Rightarrow e$  ist extrem in Richtung ihrer äußerer Normalen  $\vec{u}_e$

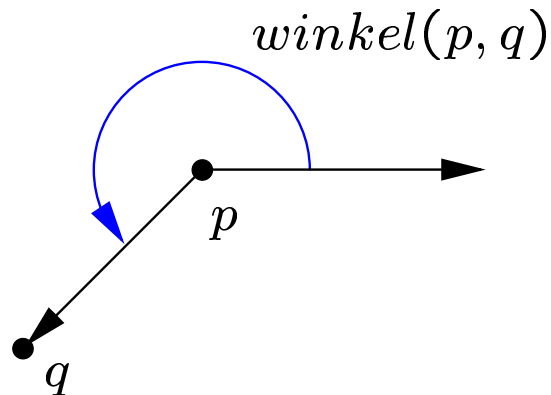
$\Rightarrow e$  wird von in Richtung  $\vec{u}_e$  extremen Punkten von  $\mathcal{P}$  und  $\mathcal{R}$  erzeugt

$\Rightarrow$  es gibt eine in Richtung  $\vec{u}_e$  extreme Kante  $e'$  von  $\mathcal{P}$  oder  $\mathcal{R}$

$\Rightarrow$  weise  $e$  der Kante  $e'$  zu

# Berechnung der Minkowski-Summe

## Definition



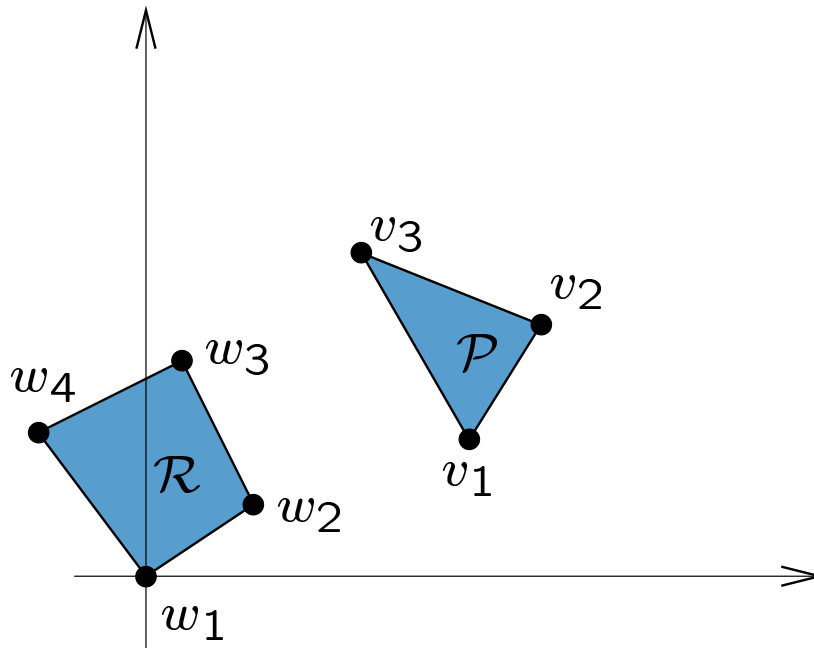
## Algorithmus *Minkowski-Summe*

**Input:** Konvexe Polygone  $\mathcal{P} = (v_1, \dots, v_n)$   
und  $\mathcal{R} = (w_1, \dots, w_m)$  mit  $v_1$  und  $w_1$   
 $y$ -minimale Ecken

**Output:** Die Minkowski-Summe  $\mathcal{P} \oplus \mathcal{R}$

```
1  $i \leftarrow 1; j \leftarrow 1$ 
2  $v_{n+1} \leftarrow v_1; w_{m+1} \leftarrow w_1$ 
3 repeat
4   Füge  $v_i + w_j$  als Ecke zu  $\mathcal{P} \oplus \mathcal{R}$  hinzu
5   if  $winkel(v_i, v_{i+1}) < winkel(w_j, w_{j+1})$ 
6     then  $i \leftarrow i + 1$ 
7   if  $winkel(v_i, v_{i+1}) > winkel(w_j, w_{j+1})$ 
8     then  $j \leftarrow j + 1$ 
9   if  $winkel(v_i, v_{i+1}) = winkel(w_j, w_{j+1})$ 
10    then  $i \leftarrow i + 1, j \leftarrow j + 1$ 
11 until  $i = n + 1$  and  $j = m + 1$ 
```

# Beispiel



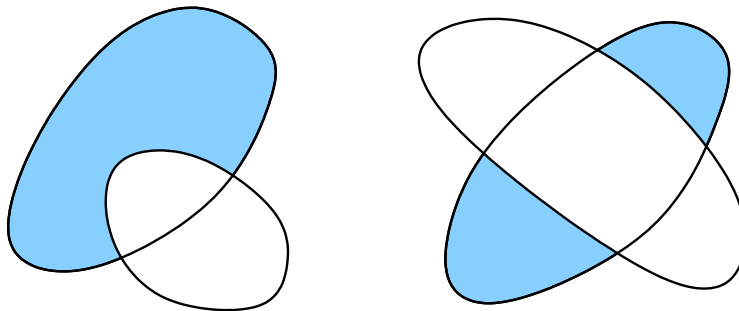
## Satz

Die Minkowski-Summe zweier **konvexer** Polygone mit  $n$  bzw.  $m$  Kanten kann in Zeit  $O(n + m)$  berechnet werden.

# Pseudo-Scheiben

## Definition

Zwei planare Objekte  $\mathcal{O}_1$  und  $\mathcal{O}_2$  heißen **Pseudo-Scheiben**, falls  $\mathcal{O}_1 \setminus \mathcal{O}_2$  und  $\mathcal{O}_2 \setminus \mathcal{O}_1$  zusammenhängend ist.



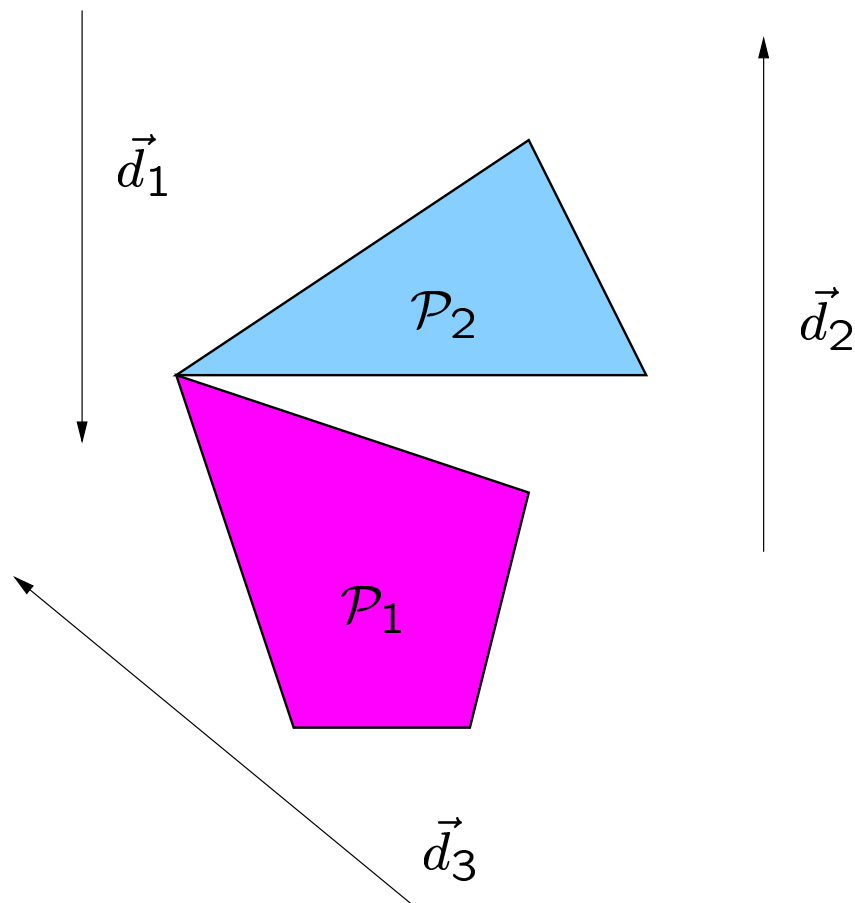
## Beobachtung

Die Ränder zweier Pseudo-Scheiben haben höchstens **zwei echte Kreuzungen**.

# Extreme Punkte

## Definition

Seien  $\mathcal{P}_1$  und  $\mathcal{P}_2$  zwei Polygone mit disjunktem Innerem in der Ebene.  $\mathcal{P}_1$  heißt **extremer in Richtung  $\vec{d}$**  als  $\mathcal{P}_2$ , falls  $\mathcal{P}_1$  Punkte besitzt, die weiter in Richtung  $\vec{d}$  liegen als  $\mathcal{P}_2$ .

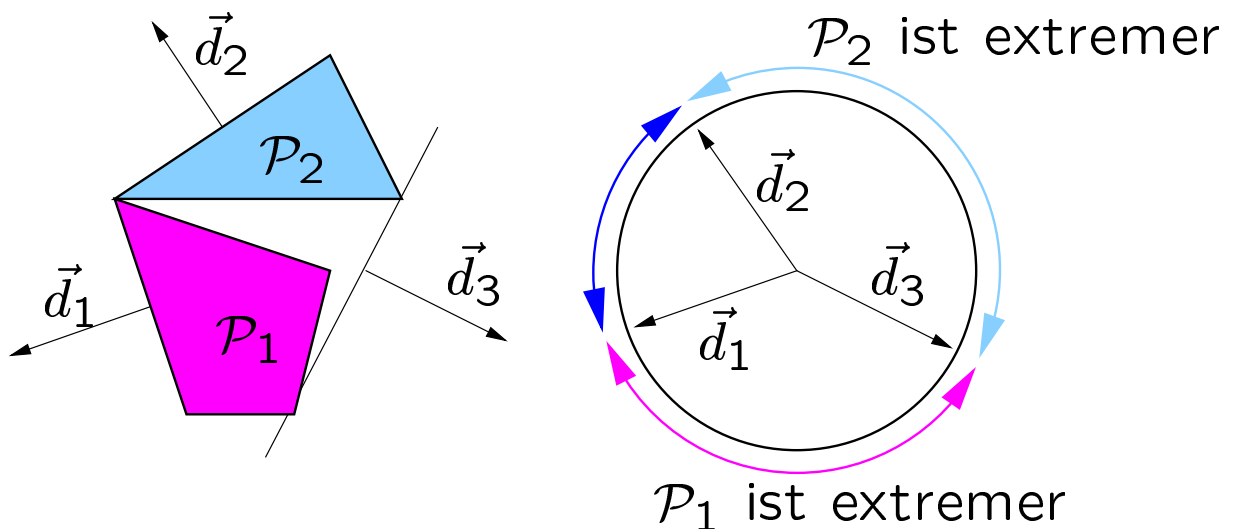


# Extreme Punkte

## Beobachtung

Seien  $\mathcal{P}_1$  und  $\mathcal{P}_2$  zwei Polygone in der Ebene mit disjunktem Inneren und  $\vec{d}_1$  und  $\vec{d}_2$  zwei Richtungen, so daß  $\mathcal{P}_1$  extremer als  $\mathcal{P}_2$  in Richtung  $\vec{d}_1$  und  $\vec{d}_2$  ist.

Dann ist  $\mathcal{P}_1$  entweder in allen Richtungen von  $\vec{d}_1$  nach  $\vec{d}_2$  oder in allen Richtungen von  $\vec{d}_2$  nach  $\vec{d}_1$  extremer als  $\mathcal{P}_2$ .



# Minkowski-Summen als

## Pseudo-Scheiben

### Satz

Seien  $\mathcal{P}_1$  und  $\mathcal{P}_2$  zwei konvexe Polygone mit disjunktem Innerem und  $\mathcal{R}$  ein weiteres konvexes Polygon. Dann sind  $\mathcal{C}_1 = \mathcal{P}_1 \oplus \mathcal{R}$  und  $\mathcal{C}_2 = \mathcal{P}_2 \oplus \mathcal{R}$  Pseudo-Scheiben.

### Beweis:

**Zu zeigen:**  $\mathcal{C}_1 \setminus \mathcal{C}_2$  und  $\mathcal{C}_2 \setminus \mathcal{C}_1$  sind zusammenhängend

**Annahme:**  $\mathcal{C}_1 \setminus \mathcal{C}_2$  besteht aus mindestens zwei Zus.hangskomponenten  $\mathcal{Z}_1$  und  $\mathcal{Z}_2$

$\mathcal{C}_1$  und  $\mathcal{C}_2$  sind konvex

$\Rightarrow$  es gibt  $\vec{d}_1 \in \mathcal{Z}_1$  und  $\vec{d}_2 \in \mathcal{Z}_2$  mit  $\mathcal{C}_1$  ist extremer als  $\mathcal{C}_2$  in Richtung  $\vec{d}_1$  und  $\vec{d}_2$

$\Rightarrow \mathcal{P}_1$  ist extremer als  $\mathcal{P}_2$  in Richtung  $\vec{d}_1$  und  $\vec{d}_2$

$\mathcal{P}_1$  und  $\mathcal{P}_2$  haben disjunkte Innere

$\Rightarrow \mathcal{P}_1$  ist extremer als  $\mathcal{P}_2$  für alle Richtungen von  $\vec{d}_1$  bis  $\vec{d}_2$  (oder  $\vec{d}_2$  bis  $\vec{d}_1$ )

$\Rightarrow \mathcal{C}_1$  ist extremer als  $\mathcal{C}_2$  für alle Richtungen von  $\vec{d}_1$  bis  $\vec{d}_2$       **Widerspruch!**

# Vereinigung von Pseudo-Scheiben

## Satz

Sei  $\mathcal{S}$  eine Menge von polygonalen **Pseudo-Scheiben** mit insgesamt  $n$  Kanten. Dann ist die Komplexität ihrer **Vereinigung**  $\mathcal{V}$  höchstens  $2n$ .

**Beweis:**  $\mathcal{V}$  enthält zwei Arten von Ecken

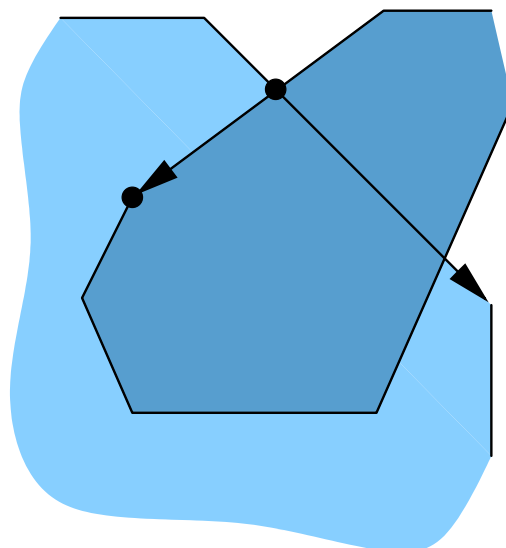
1. Ecken der Polygone in  $\mathcal{S}$  und
2. Kantenschnittpunkte von Polygonen in  $\mathcal{S}$

zu 2.: Betrachte Kantenschnittpunkt  $v = e \cap e'$   
Endpunkt  $v'$  von  $e$  oder  $e'$  liegt im Inneren von  $\mathcal{V}$

$\Rightarrow$  Weise  $v$   $v'$  zu

$v'$  hat zwei inzidente Kanten

$\Rightarrow$  höchstens zwei zugewiesene Kantenschnittpunkte



# Nicht-konvexe Polygone

Es gilt:

$$\mathcal{S}_1 \oplus (\mathcal{S}_2 \cup \mathcal{S}_3) =$$

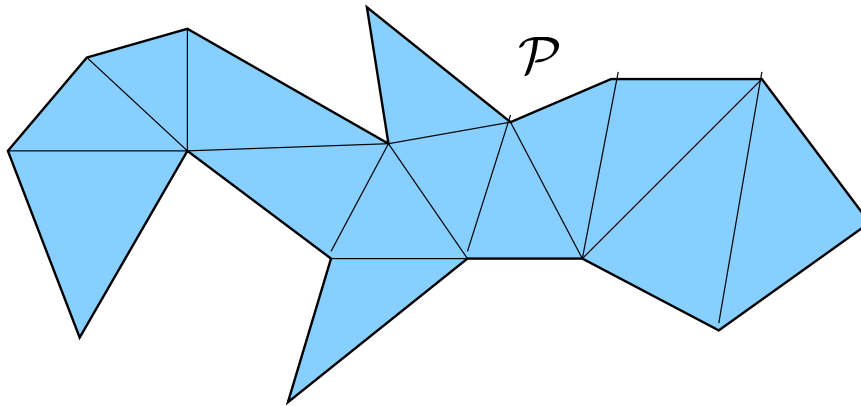
$\mathcal{P}$  nicht konvex:  $\Rightarrow ?$

# Nicht-konvexe Polygone

$$\mathcal{S}_1 \oplus (\mathcal{S}_2 \cup \mathcal{S}_3) = (\mathcal{S}_1 \oplus \mathcal{S}_2) \cup (\mathcal{S}_1 \oplus \mathcal{S}_3)$$

$\mathcal{P}$  nicht konvex:

1. trianguliere  $\mathcal{P} \Rightarrow$  Dreiecke  $T_1, \dots, T_{n-2}$

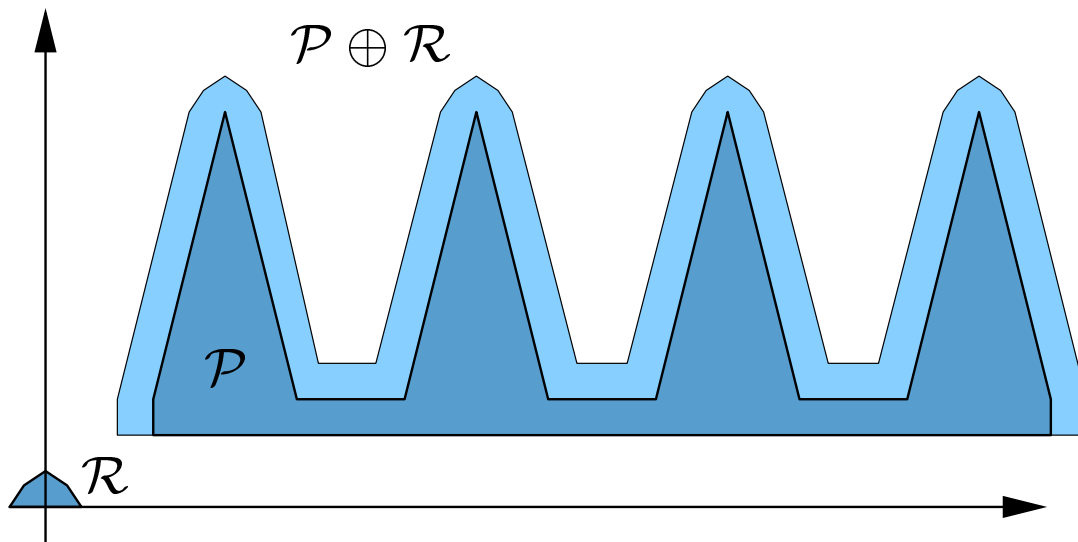


2. berechne

$$\mathcal{P} \oplus \mathcal{R} = \bigcup_{i=1}^{n-2} T_i \oplus \mathcal{R}$$

Komplexität:  $O(nm)$

# Nicht-konvexe Polygone



# Nicht-konvexe Polygone

$\mathcal{P}$  und  $\mathcal{R}$  nicht konvex:

1. trianguliere  $\mathcal{P} \Rightarrow$  Dreiecke  $T_1, \dots, T_{n-2}$

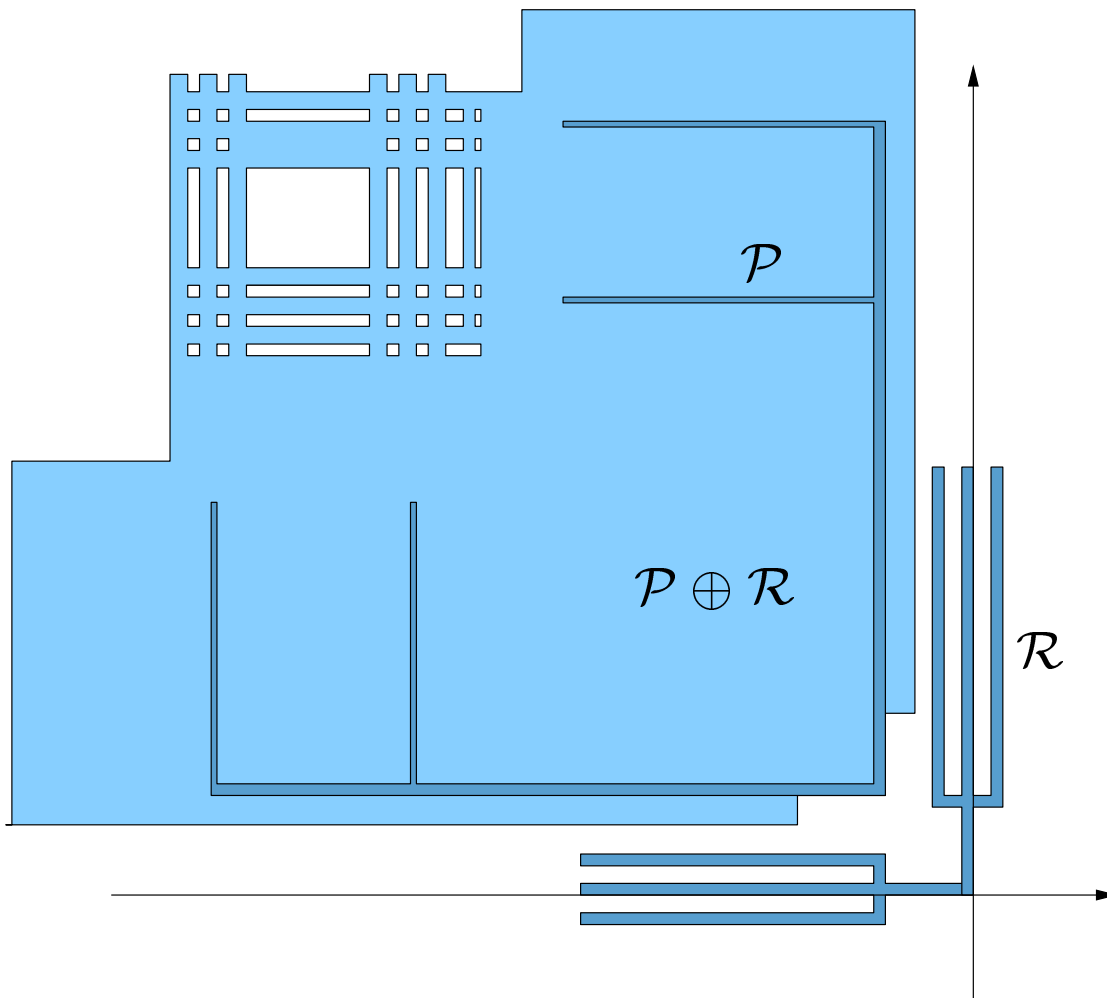
2. trianguliere auch  $\mathcal{R} \Rightarrow$  Dreiecke

$\mathcal{U}_1, \dots, \mathcal{U}_{m-2}$

3. berechne

$$\mathcal{P} \oplus \mathcal{R} = \bigcup_{i=1}^{n-2} \bigcup_{j=1}^{m-2} T_i \oplus \mathcal{U}_j$$

Komplexität:  $O(n^2 m^2)$



# 6 Bewegungsplanung mit Translationen

$\mathcal{C}$ -Hindernisse:

$$\mathcal{P}_i \oplus (-\mathcal{R}(0, 0))$$

## Satz

Sei  $\mathcal{R}$  ein Roboter mit konstant vielen Kanten und  $\mathcal{H}$  eine Menge von Hindernissen mit  $n$  Kanten. Dann ist die Komplexität des **freien Konfigurationsraumes** für Translationen  $O(n)$ .

Seien  $T_1, \dots, T_n$  die Dreiecke einer Triangulation der Hindernisse

Wir berechnen

$$\mathcal{C}_{forb} = \bigcup_{i=1}^n \mathcal{C}_i = \bigcup_{i=1}^n T_i \oplus (-\mathcal{R}(0, 0))$$

# Berechnung von $\mathcal{C}_{forb}$

## Algorithmus *VerbotenerRaum*

**Input:** Eine Menge  $\mathcal{H} = \{T_1, \dots, T_n\}$  von Dreiecken und ein Roboter  $\mathcal{R}$

**Output:**  $\mathcal{C}_{forb} = \bigcup_{i=1}^n \mathcal{C}_i = \bigcup_{i=1}^n T_i \oplus (-\mathcal{R}(0, 0))$

```
1 if  $n = 1$ 
2   then return  $T_1 \oplus (-\mathcal{R}(0, 0))$ 
3   else  $\mathcal{C}_{forb}^1 = \text{VerbotenerRaum}(T_1, \dots, T_{\lfloor n/2 \rfloor})$ 
4          $\mathcal{C}_{forb}^2 = \text{VerbotenerRaum}(T_{\lfloor n/2 \rfloor + 1}, \dots, T_n)$ 
5         berechne  $\mathcal{C}_{forb} = \mathcal{C}_{forb}^1 \cup \mathcal{C}_{forb}^2$ 
6         return  $\mathcal{C}_{forb}$ 
```

# Analyse VerbotenerRaum

**Triangulierung:**  $|\mathcal{P}_i| = m_i$

**Berechnung der  $\mathcal{C}$ -Hindernisse:**

**Berechnung von  $\mathcal{C}_{forb}^1 \cup \mathcal{C}_{forb}^2$ :**

$$|\mathcal{C}_{forb}^1| = n_1, |\mathcal{C}_{forb}^2| = n_2, |\mathcal{C}_{forb}| = k$$

**Rekursion:**

# Zusammenfassung

## Satz

Sei  $\mathcal{R}$  ein **konvexer Roboter** mit **konstant** vielen Kanten, der translatorische Bewegungen zwischen einer Menge  $\mathcal{H}$  von disjunkten Hindernissen mit insgesamt  $n$  Kanten ausführt.

Man kann  $\mathcal{H}$  in  $O(n \log^2 n)$  erwarteter Zeit vorverarbeiten, so daß für jede Start- und Zielposition ein **kollisionsfreier Weg** für  $\mathcal{R}$ , sofern er existiert, in  $O(n)$  Zeit berechnet werden kann.

# 7 Bewegungsplanung mit Translationen und Rotationen

- konvexer, polygonaler Roboter  $\mathcal{R}$
- polygonale, disjunkte Hindernisse

$$\mathcal{H} = \{\mathcal{P}_1, \dots, \mathcal{P}_t\}$$

- drei Freiheitsgrade: zwei translatorische und einen für die Rotation

## Konfigurationsraum:

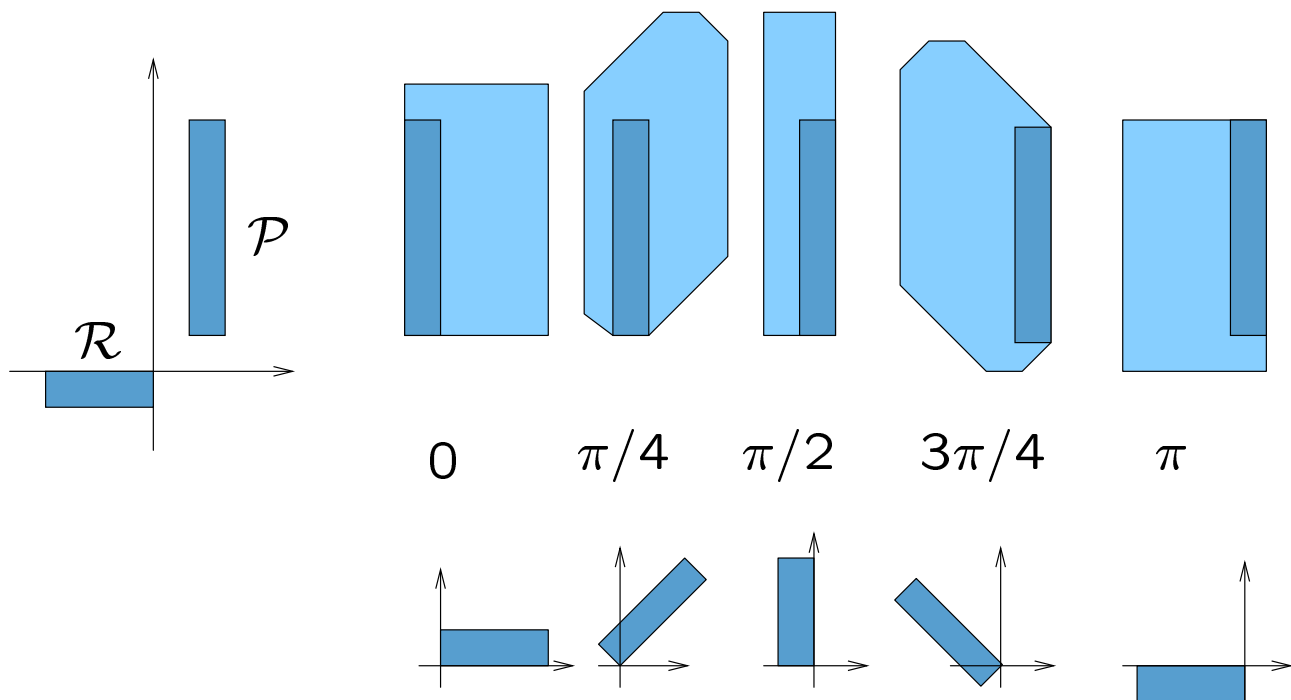
$$(x, y, \varphi) \in \mathcal{C}(\mathcal{R}) = \mathbb{R}^2 \times [0, 2\pi) \mapsto \mathcal{R}(x, y, \varphi)$$

## Konfigurationshindernisse:

$$\mathcal{C}(\mathcal{P}_i) = \{(x, y, \varphi) \mid \mathcal{R}(x, y, \varphi) \cap \mathcal{P}_i \neq \emptyset\}$$

# Konfigurationshindernisse

Betrachte Schnitte mit den Ebenen  $h : \varphi = \varphi_0$



Minkowski-Summe

$$\mathcal{P}_i + (-\mathcal{R}(0, 0, \varphi))$$

ändert sich **stetig** in  $\varphi$ .

# Ein Algorithmus

## Definition

Der Schnitt des Konfigurationsraums von  $\mathcal{R}$  mit einer Ebene  $h : \varphi = \varphi_0$  heißt **Scheibe**  $\mathcal{S}_{\varphi_0}$  des Konfigurationsraums.

## Idee:

- Zerteile Konfigurationsraum in Scheiben
- Zerlege die Bewegung des Roboters in **Translationen** innerhalb einer Scheibe und
- **Rotationen** zwischen Scheiben

$m$  = Anzahl der Scheiben

Scheiben werden für Winkel  $\varphi_i$  berechnet:

$$\varphi_i = i \times \frac{2\pi}{m}$$

# Ein Algorithmus

## Algorithmus

**Input:** ein konvexer polygonaler Roboter  $\mathcal{R}$   
und eine Menge von Hindernisse  $\mathcal{H}$

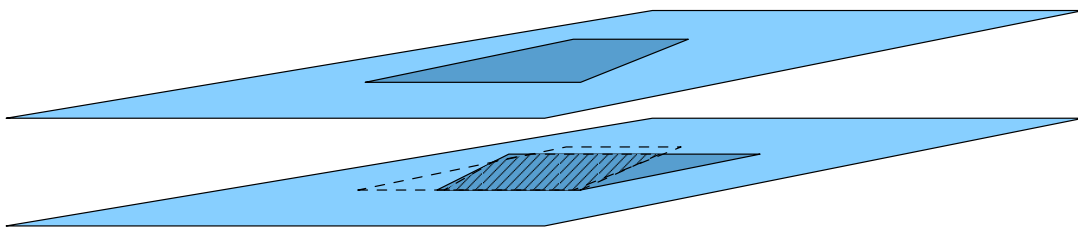
**Output:** eine Straßenkarte  $\mathcal{G}_{road}$  für  $\mathcal{C}(\mathcal{R})$

- 1  $T_{-1} \leftarrow \emptyset; \mathcal{G}_{-1} \leftarrow (\emptyset, \emptyset); \mathcal{G}_{road} \leftarrow \emptyset$
- 2 **for**  $i \leftarrow 0$  **to**  $m - 1$  **do**
- 3     berechne Scheibe  $\mathcal{S}_{\varphi_i}$  von  $\mathcal{C}(\mathcal{R}, \mathcal{H})$
- 4     berechne Trapezzerlegung  $T_i$  von  $\mathcal{S}_{\varphi_i}$
- 5     berechne Straßenkarte  $\mathcal{G}_i$  von  $T_i$
- 6     verknüpfe  $\mathcal{G}_i$  mit  $\mathcal{G}_{i-1}$  und füge  $\mathcal{G}_i$  und  
      die Verknüpfungen  $\mathcal{G}_{road}$  hinzu
- 7 verknüpfe  $\mathcal{G}_0$  mit  $\mathcal{G}_{m-1}$  und füge die  
      Verknüpfungen zu  $\mathcal{G}_{road}$  hinzu
- 8 **return**  $\mathcal{G}_{road}$

# Verknüpfung zweier Straßenkarten

## Algorithmus *Verknüpfung von $\mathcal{G}_i$ mit $\mathcal{G}_{i-1}$*

- 1 Berechne die Überlagerung von  $T_{i-1}$  und  $T_i$
- 2 Sei  $\mathcal{U}$  die Menge der Trapezpaare  
 $(\Delta_1, \Delta_2) \in T_{i-1} \times T_i$  mit  $\Delta_1 \cap \Delta_2 \neq \emptyset$
- 3 **for all**  $(\Delta_1, \Delta_2) \in \mathcal{U}$  **do**
- 4     Sei  $(x, y)$  der Mittelpunkt von  $\Delta_1 \cap \Delta_2$
- 5     Füge  $v_1 = (x, y, \varphi_{i-1})$  als Knoten zu  $\mathcal{G}_{i-1}$  hinzu und verbinde  $v_1$  mit dem Mittelpunkt von  $\Delta_1$
- 6     Füge  $v_2 = (x, y, \varphi_i)$  als Knoten zu  $\mathcal{G}_i$  hinzu und verbinde  $v_2$  mit dem Mittelpunkt von  $\Delta_2$
- 7     Verbinde  $v_1$  und  $v_2$  durch eine Kante



# Berechnung eines Weges

## Algorithmus

**Input:** Startkonfiguration  $\mathcal{R}(x_s, y_s, \varphi_s)$  und Zielkonfiguration  $\mathcal{R}(x_z, y_z, \varphi_z)$ ,  
Straßenkarte  $\mathcal{G}_{road}$

**Output:** Ein Weg von  $(x_s, y_s, \varphi_s)$  nach  $(x_z, y_z, \varphi_z)$  oder eine Meldung, daß kein Weg existiert

- 1  $i_s \leftarrow \text{round}(m * \varphi_s)$ ;  $i_z \leftarrow \text{round}(m * \varphi_z)$
- 2 Berechne Trapeze  $\Delta_s \in T_{i_s}$  und  $\Delta_z \in T_{i_z}$ , die  $(x_s, y_s, \varphi_{i_s})$  und  $(x_z, y_z, \varphi_{i_z})$  enthalten
- 3 **if**  $\Delta_s$  oder  $\Delta_z$  existiert nicht
- 4     **then** melde es gibt keinen Weg; **return**
- 5 Sei  $v_s$  der Mittelpunkt von  $\Delta_s$  und  $v_z$  der Mittelpunkt von  $\Delta_z$
- 6 Berechne einen Weg  $W_{road}$  in  $\mathcal{G}_{road}$  von  $v_s$  nach  $v_z$
- 7 **if**  $W_{road}$  existiert nicht
- 8     **then** melde es gibt keinen Weg; **return**
- 9 Gebe Weg von  $(x_s, y_s, \varphi_s)$  über  $(x_s, y_s, \varphi_{i_s})$ ,  $v_s$ ,  $W_{road}$ ,  $v_z$ ,  $(x_z, y_z, \varphi_{i_z})$  nach  $(x_z, y_z, \varphi_z)$  zurück

# Probleme

## Algorithmus ist nicht korrekt

### Beispiel:

$$(x_s, y_s, \varphi_s) \in \mathcal{C}_{free}(\mathcal{R}, \mathcal{H}), \text{ aber}$$
$$(x_s, y_s, \varphi_{i_s}) \notin \mathcal{C}_{free}(\mathcal{R}, \mathcal{H})$$

Schlimmer:

Wege sind **nicht kollisionsfrei**

- Translationen innerhalb einer Scheibe sind kollisionsfrei
- Rotationen sind zwischen freien Konfigurationen

### Lösung:

1. Erhöhung von  $m$
2. Verwende vergrößerten (rotierten) Roboter

